

# **La morphogenèse modélisée par les structures de Turing**

# Sommaire

- Présentation de la morphogenèse
- Étude d'un cas simplifié des équations de réaction diffusion
- Système d'équations proposé par Turing
- Analyse des symétries et des invariances des modèles ainsi obtenus

# Présentation de la morphogenèse

Les motifs que présente le vivant sont extrêmement variés.



<https://www.google.fr/search?q=morphogenese&source>



<https://www.google.fr/search?biw=1391&bih=681&tbm=isch&sa=1&ei=uiohW4mCBciKU9Lms6AI&q=poisson+ange&oq=poisson+ange&gs>

# Problématique

Comment analyser les motifs obtenus avec les structures proposées par Turing ?

# Étude d'un cas simplifié des équations de réaction diffusion

L'équation de la chaleur en 2 dimensions :

# Étude d'un cas simplifié des équations de réaction diffusion

L'équation de la chaleur en 2 dimensions :

$$\frac{\partial T}{\partial t} = k \Delta T$$

# Étude d'un cas simplifié des équations de réaction diffusion

L'équation de la chaleur en 2 dimensions :

$$\underbrace{\frac{\partial T}{\partial t}} = k \underbrace{\Delta T}$$

$$\frac{\partial T}{\partial t} = \frac{T_{i,j}^{n+1} - T_{i,j}^n}{\Delta t}$$

$$\triangleright \Delta T = \frac{\partial^2 T}{dx^2} + \frac{\partial^2 T}{dy^2}$$

$$\triangleright \frac{\partial^2 T}{\partial x^2} = \frac{\frac{T_{i+1,j}^n - T_{i,j}^n}{\Delta x} - \frac{T_{i,j}^n - T_{i-1,j}^n}{\Delta x}}{\Delta x}$$

# Étude d'un cas simplifié des équations de réaction diffusion

L'équation de la chaleur en 2 dimensions :

$$\frac{\partial T}{\partial t} = k \Delta T$$

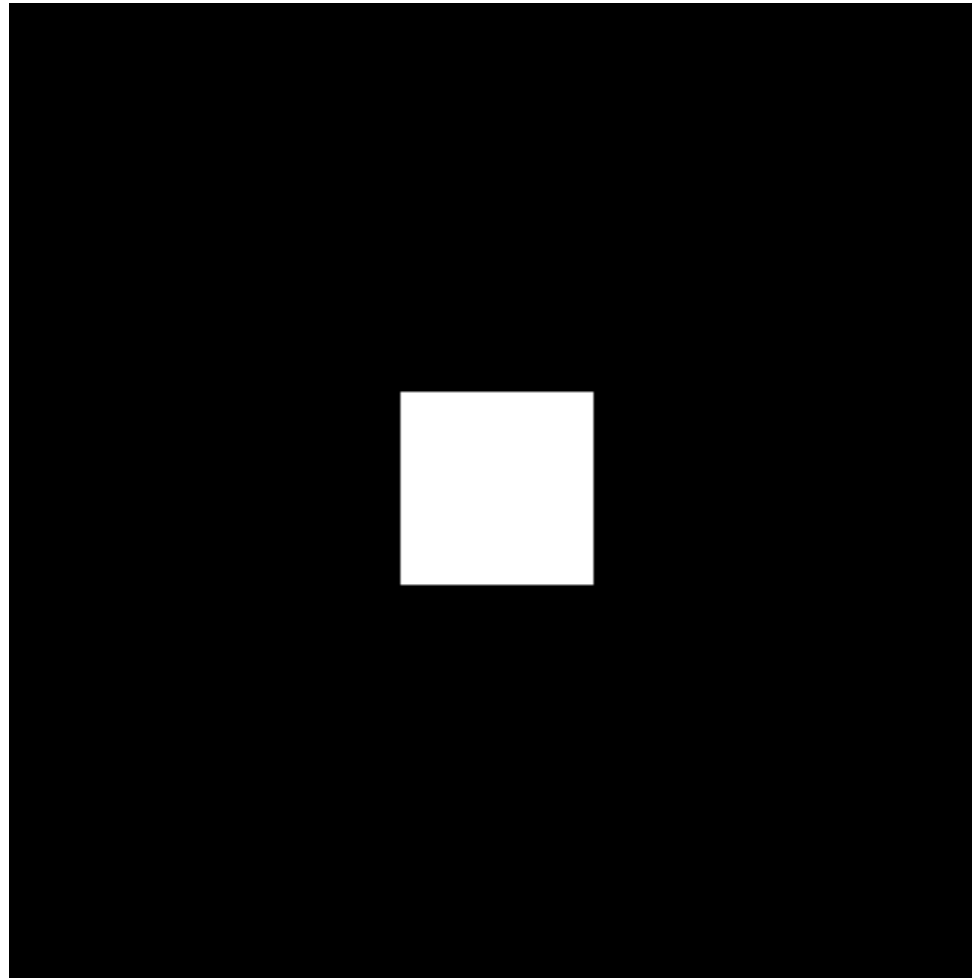
$$\frac{\partial T}{\partial t} = \frac{T_{i,j}^{n+1} - T_{i,j}^n}{\Delta t}$$

$$\Delta T = \frac{\partial^2 T}{dx^2} + \frac{\partial^2 T}{dy^2}$$

$$\frac{\partial^2 T}{\partial x^2} = \frac{T_{i+1,j}^n - T_{i,j}^n}{\Delta x} - \frac{T_{i,j}^n - T_{i-1,j}^n}{\Delta x}$$

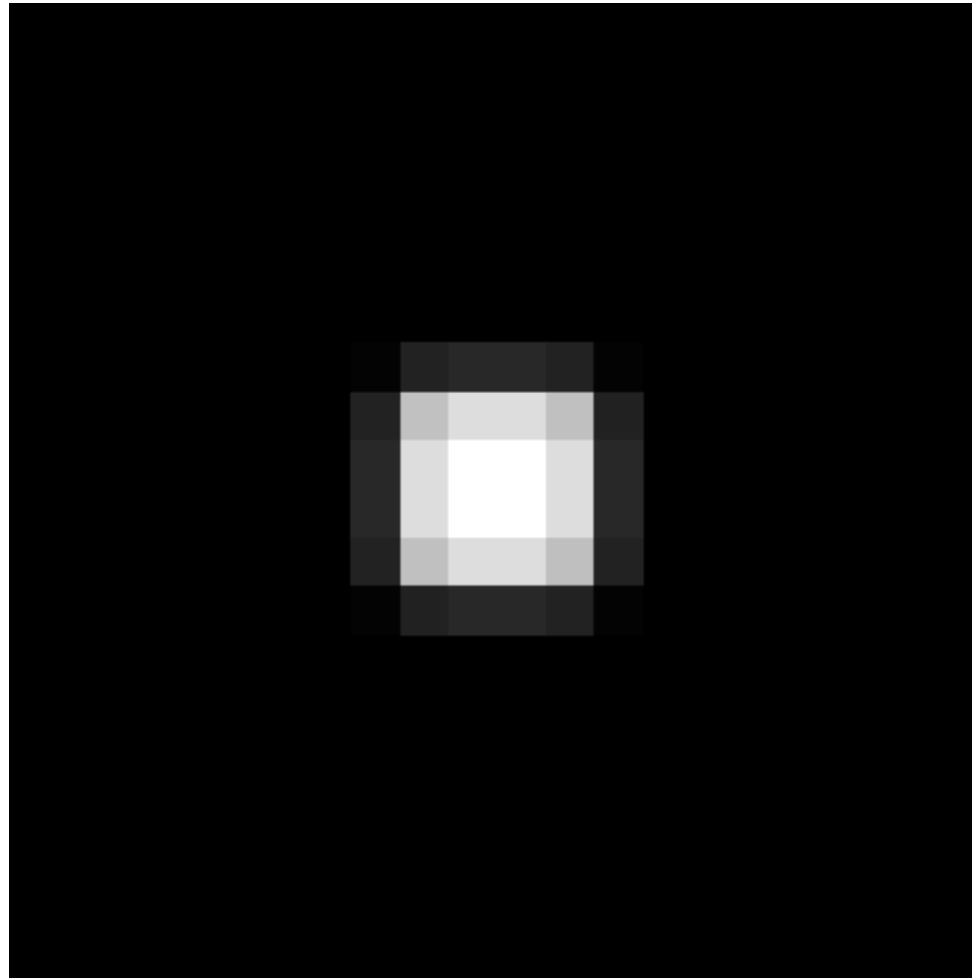
$$T_{i,j}^{n+1} = T_{i,j}^n + \Delta t * k * \left( \frac{1}{\Delta x^2} (T_{i+1,j}^n - 2T_{i,j}^n + T_{i-1,j}^n) + \frac{1}{\Delta y^2} (T_{i,j+1}^n - 2T_{i,j}^n + T_{i,j-1}^n) \right)$$

## Modélisation pour une plaque de métal (fer) :



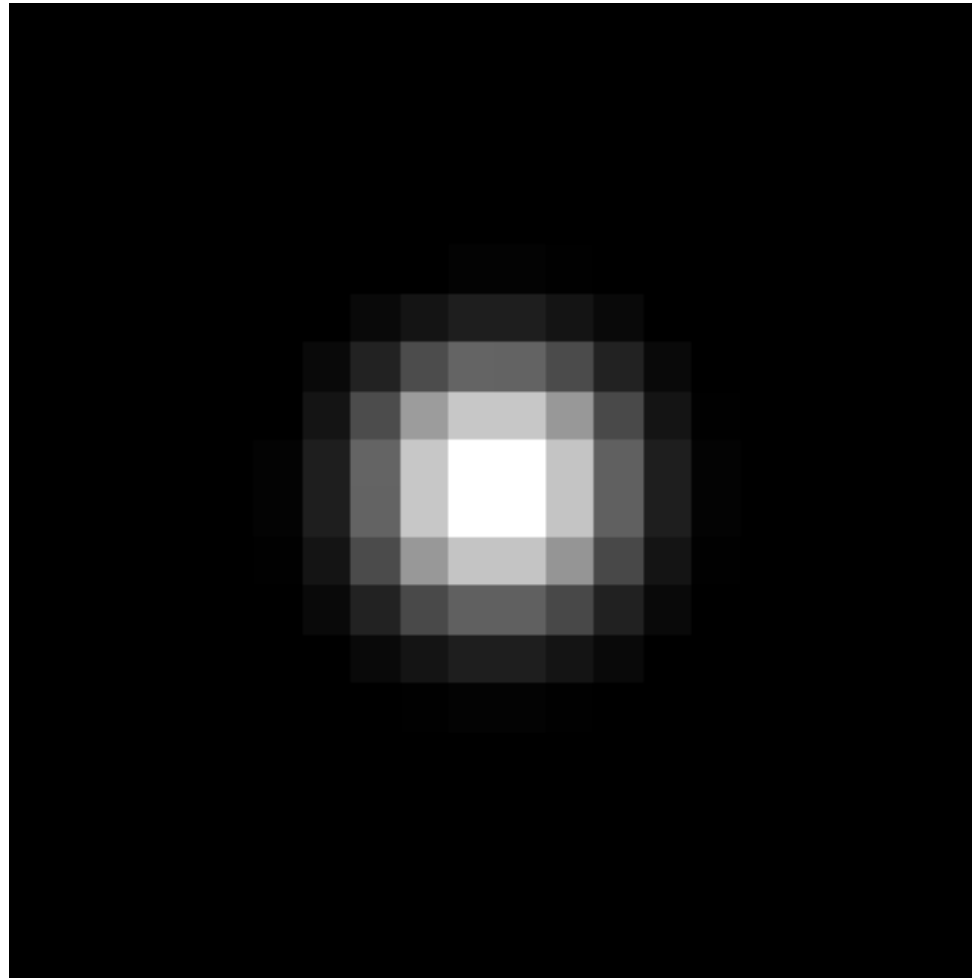
$t=0s$

## Modélisation pour une plaque de métal (fer) :



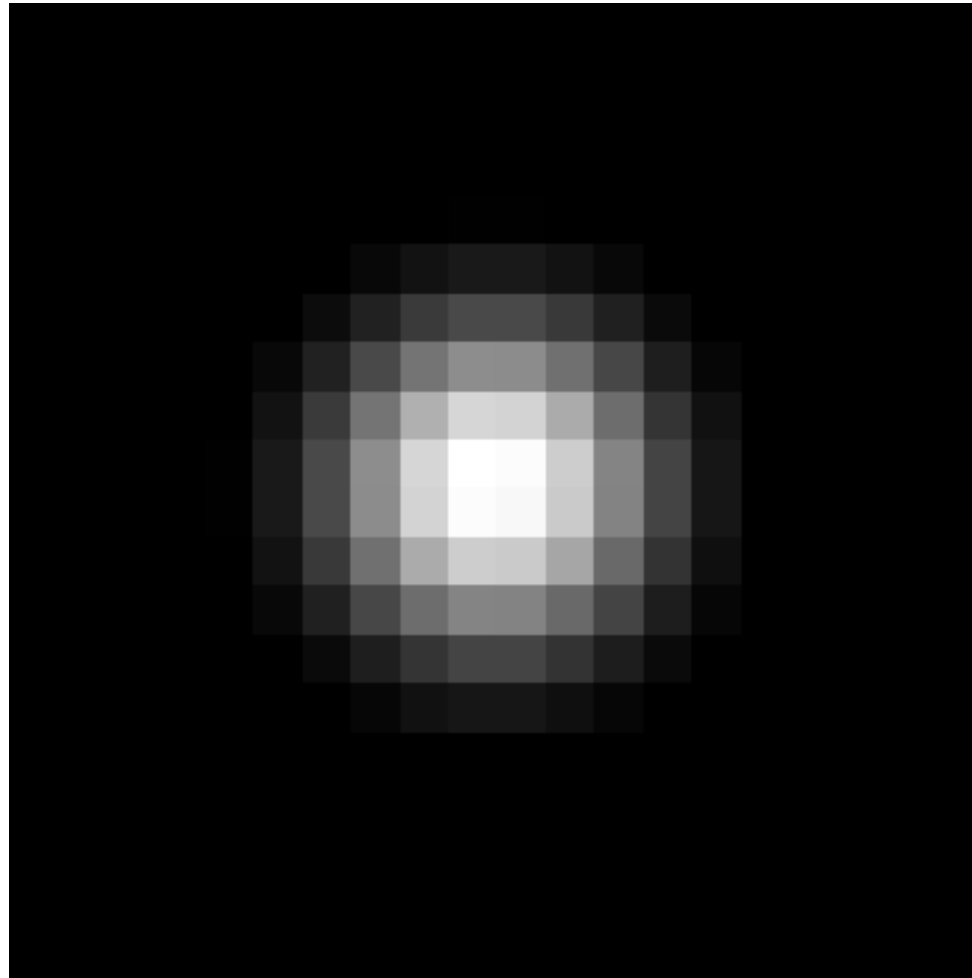
**t=10s**

## Modélisation pour une plaque de métal (fer) :



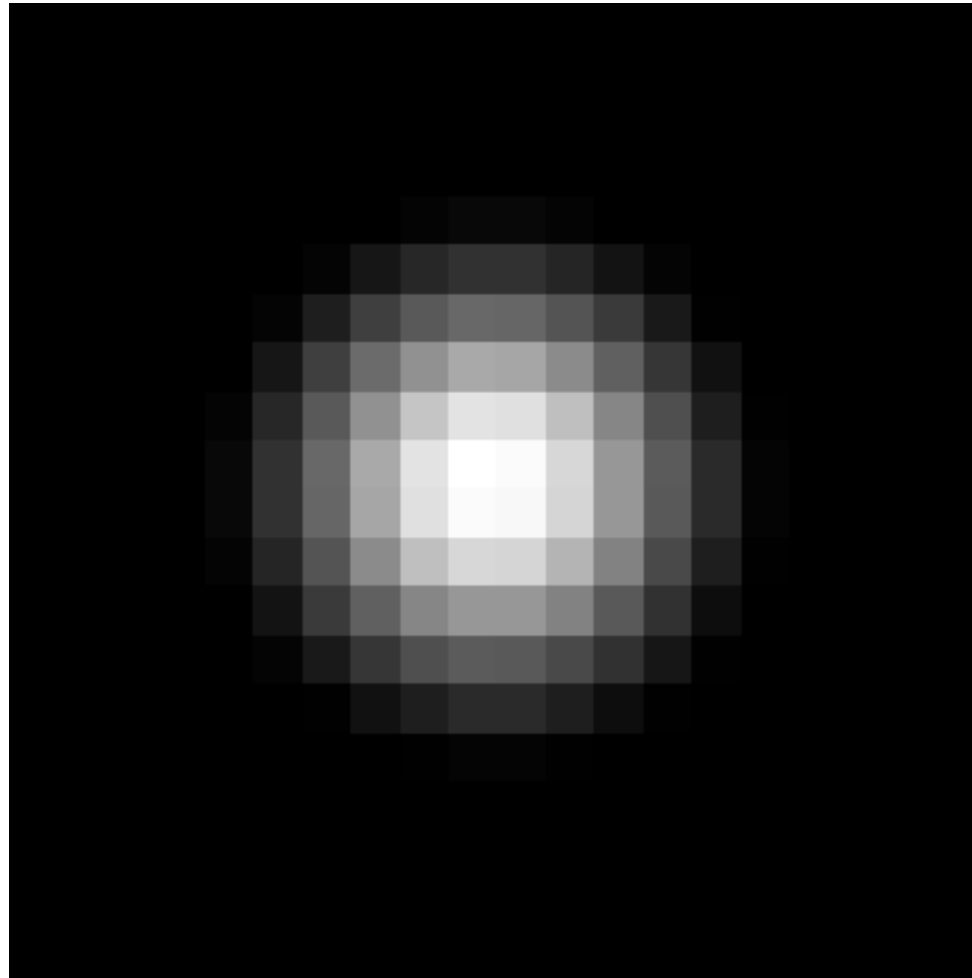
t=20s

## Modélisation pour une plaque de métal (fer) :



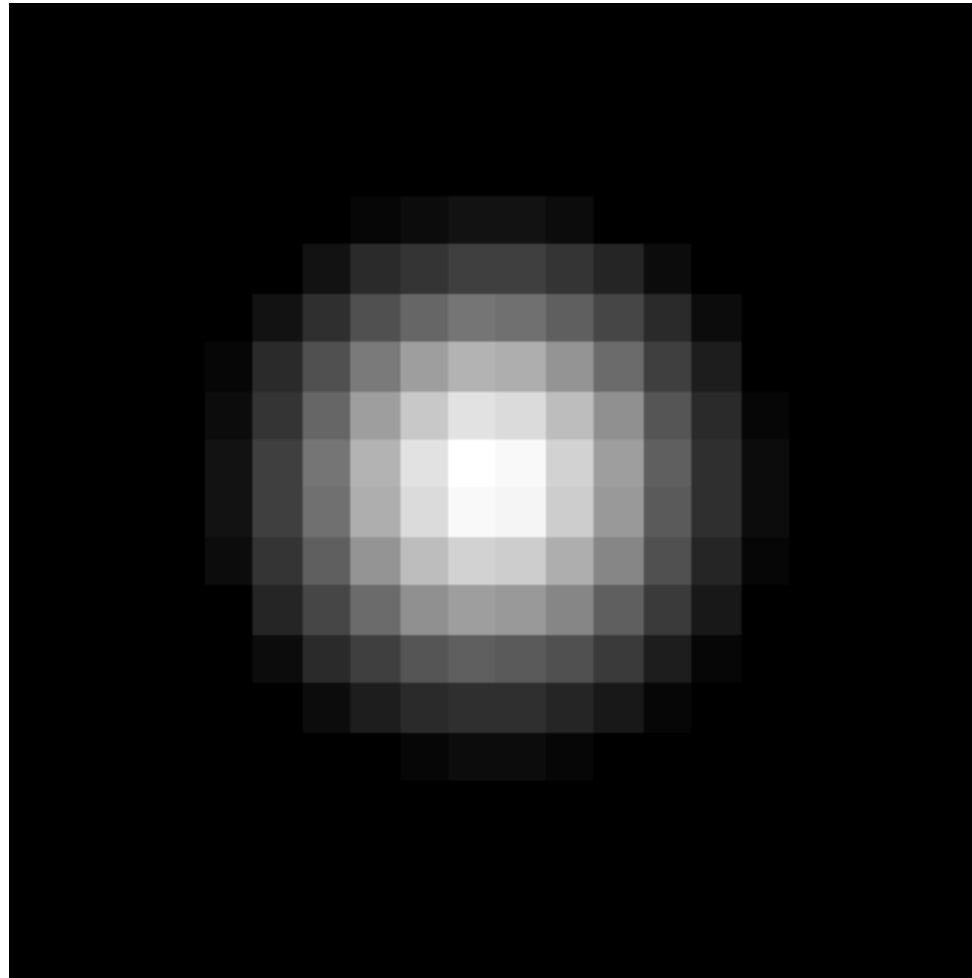
$t=30s$

## Modélisation pour une plaque de métal (fer) :



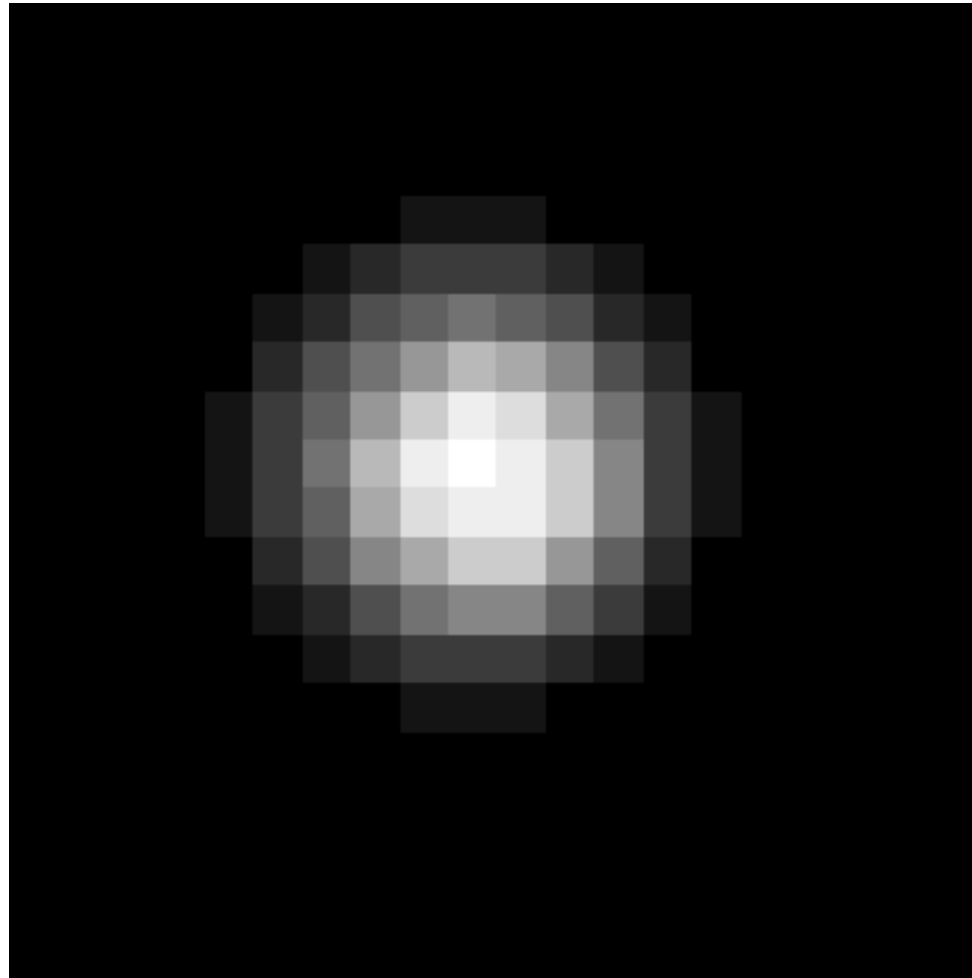
$t=40s$

## Modélisation pour une plaque de métal (fer) :



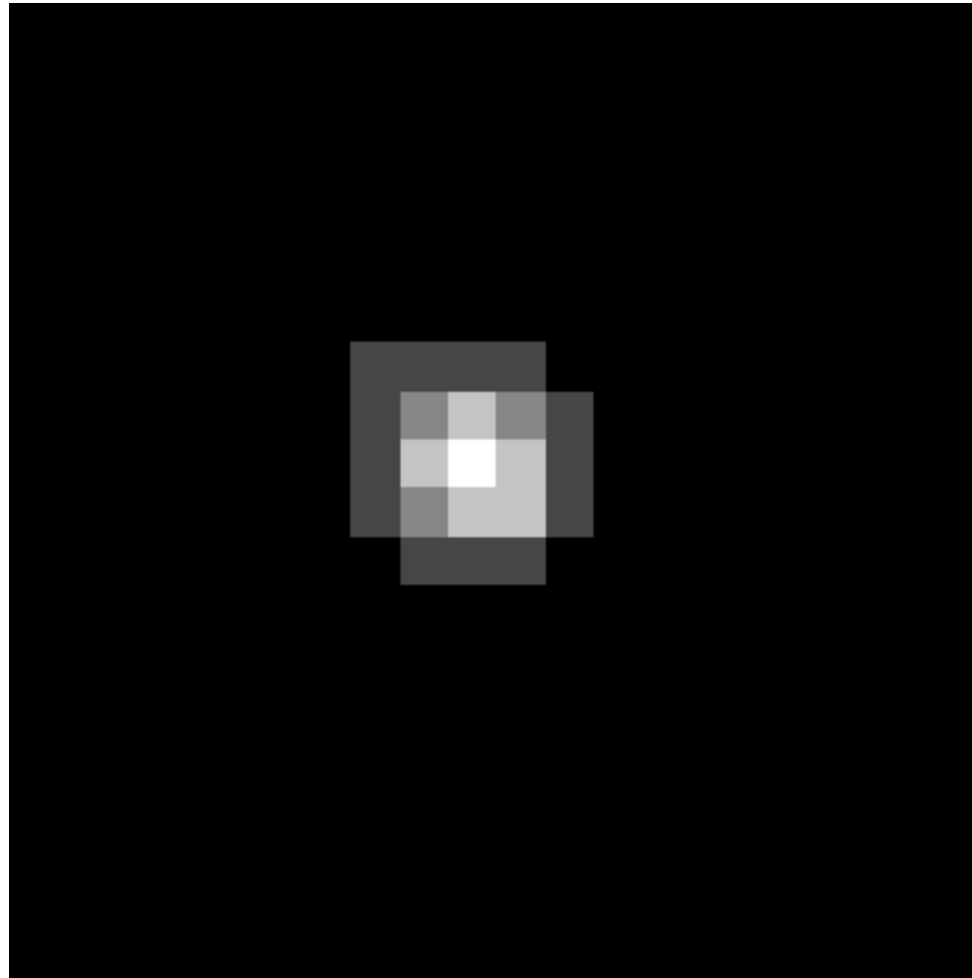
t=50s

## Modélisation pour une plaque de métal (fer) :



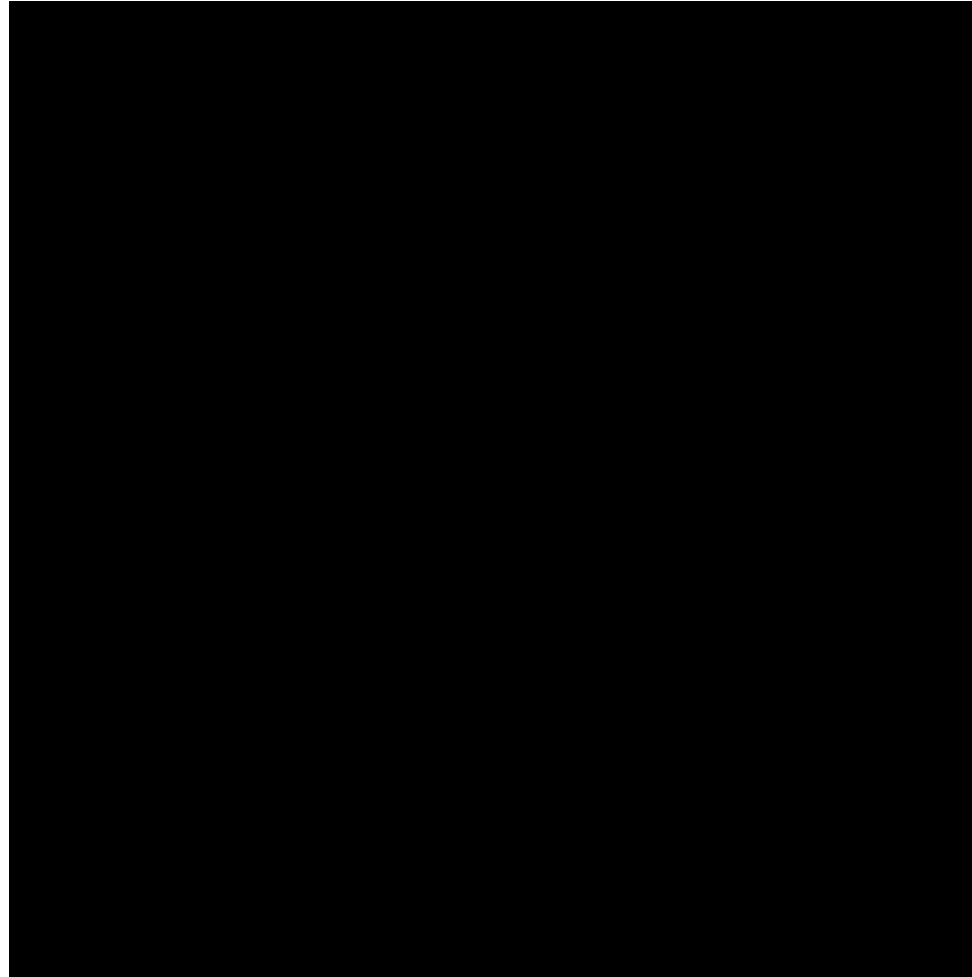
t=60s

## Modélisation pour une plaque de métal (fer) :



t=65s

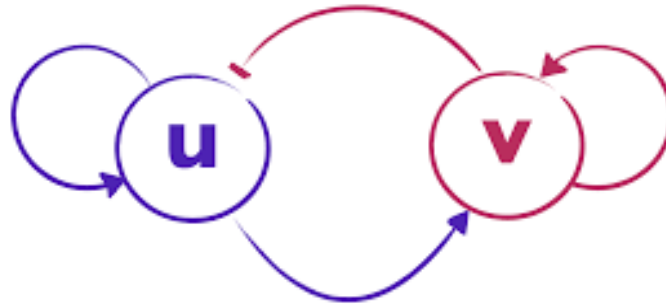
## Modélisation pour une plaque de métal (fer) :



$t=70s$

# Systeme d'equations propose par Turing

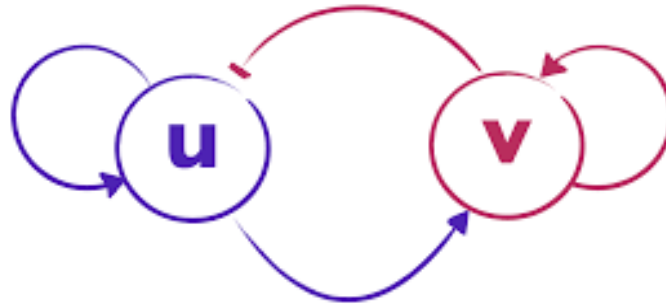
## Modélisation: Activateur-inhibiteur



Source : <http://math.univ-lyon1.fr/~pujo/TURING-IXXI.pdf>

# Systeme d'equations propose par Turing

## Modelisation: Activateur-inhibiteur

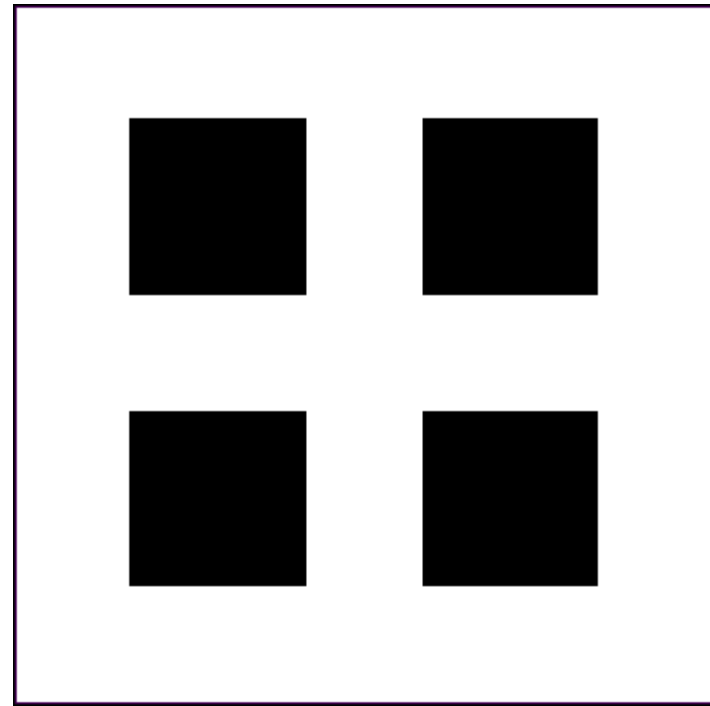
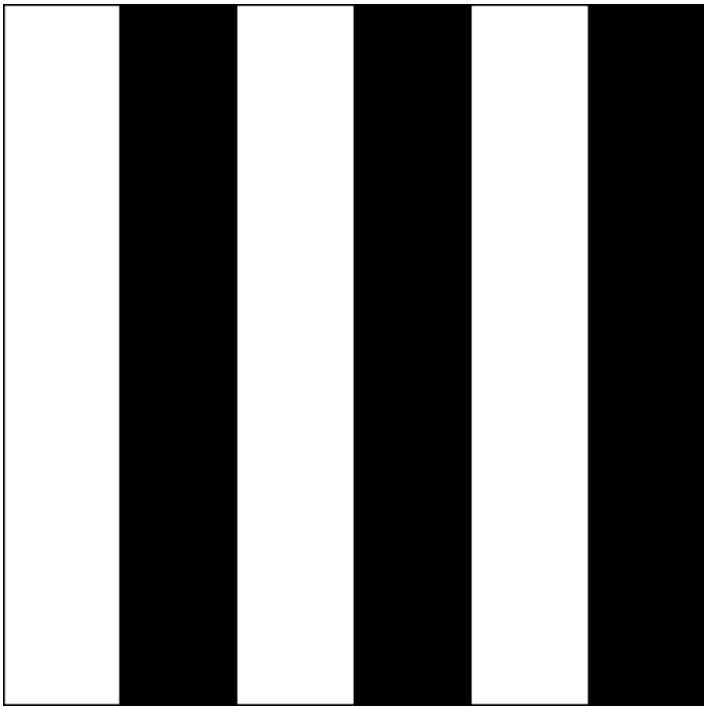


Source : <http://math.univ-lyon1.fr/~pujo/TURING-IXXI.pdf>

## Systeme de reaction-diffusion :

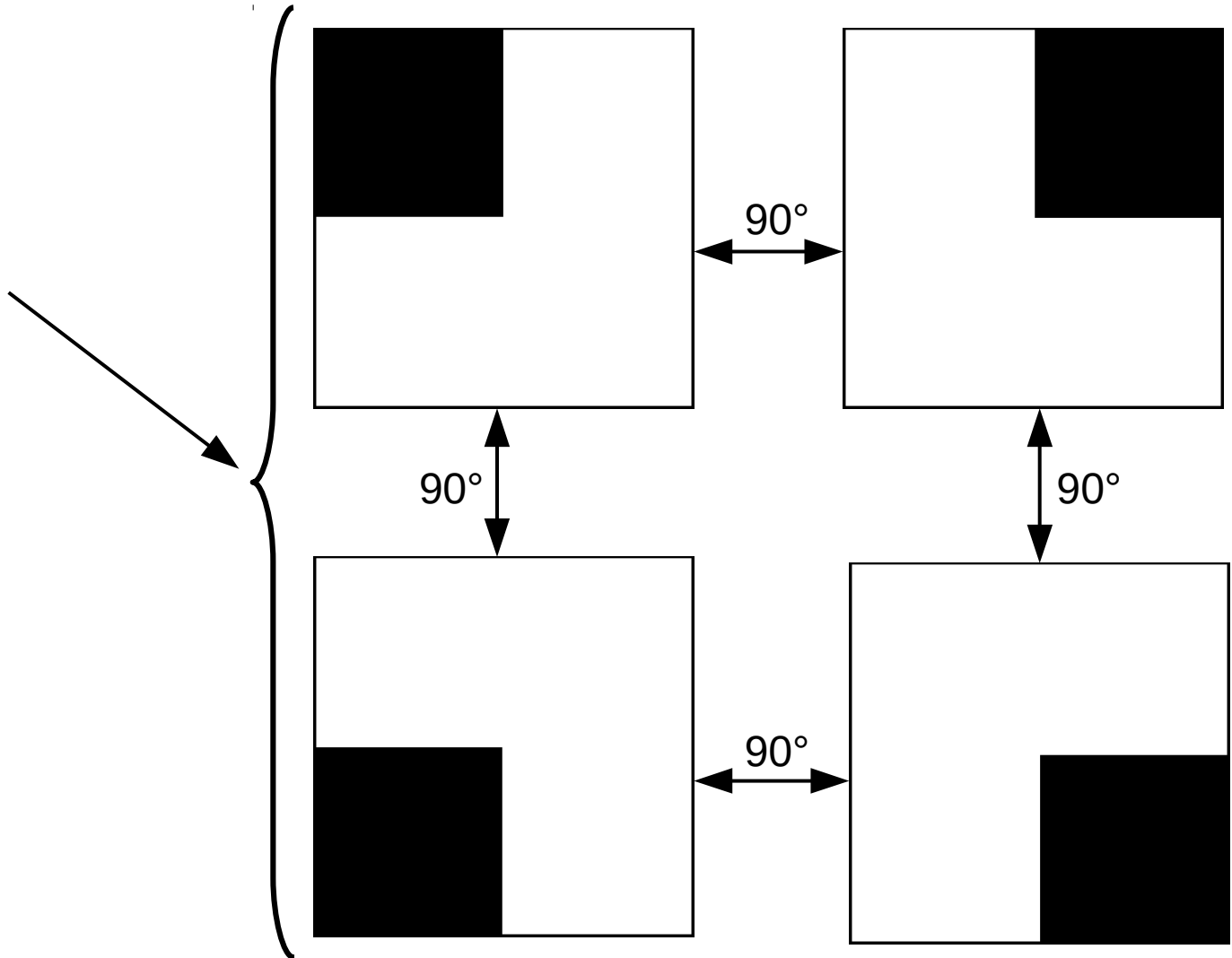
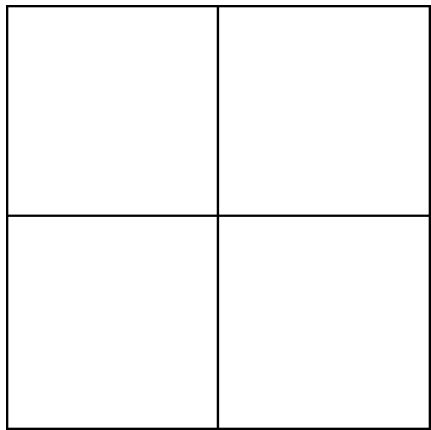
$$\begin{cases} \frac{\partial u}{\partial t} = D_u \Delta u + f(u, v) \\ \frac{\partial v}{\partial t} = D_v \Delta v + g(u, v) \end{cases}$$

# Analyse des symétries et des invariances des modèles ainsi obtenus



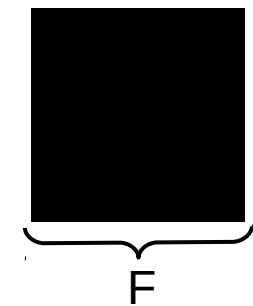
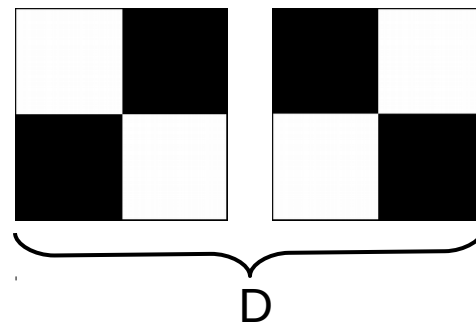
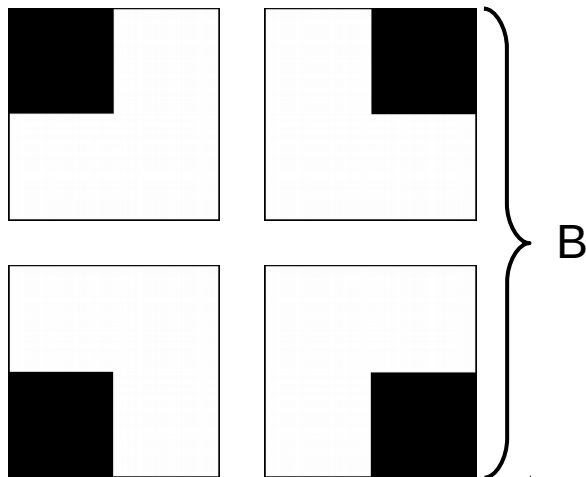
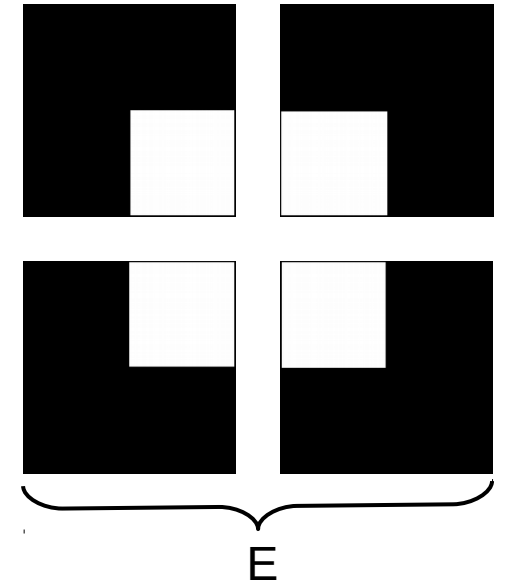
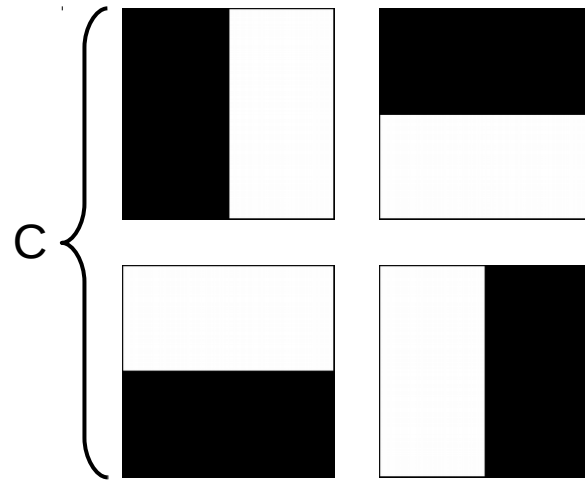
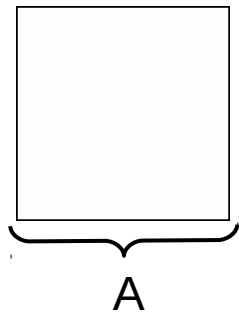
# Définitions :

## Invariances :



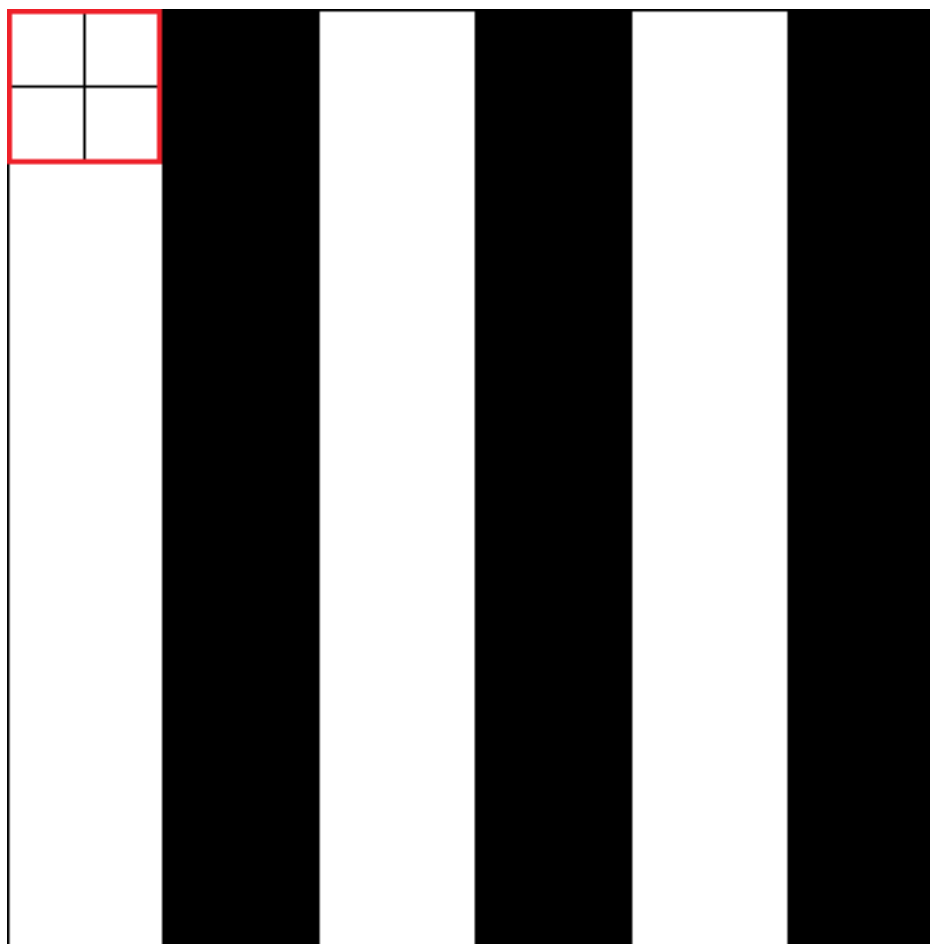
# Définitions :

## Invariances :



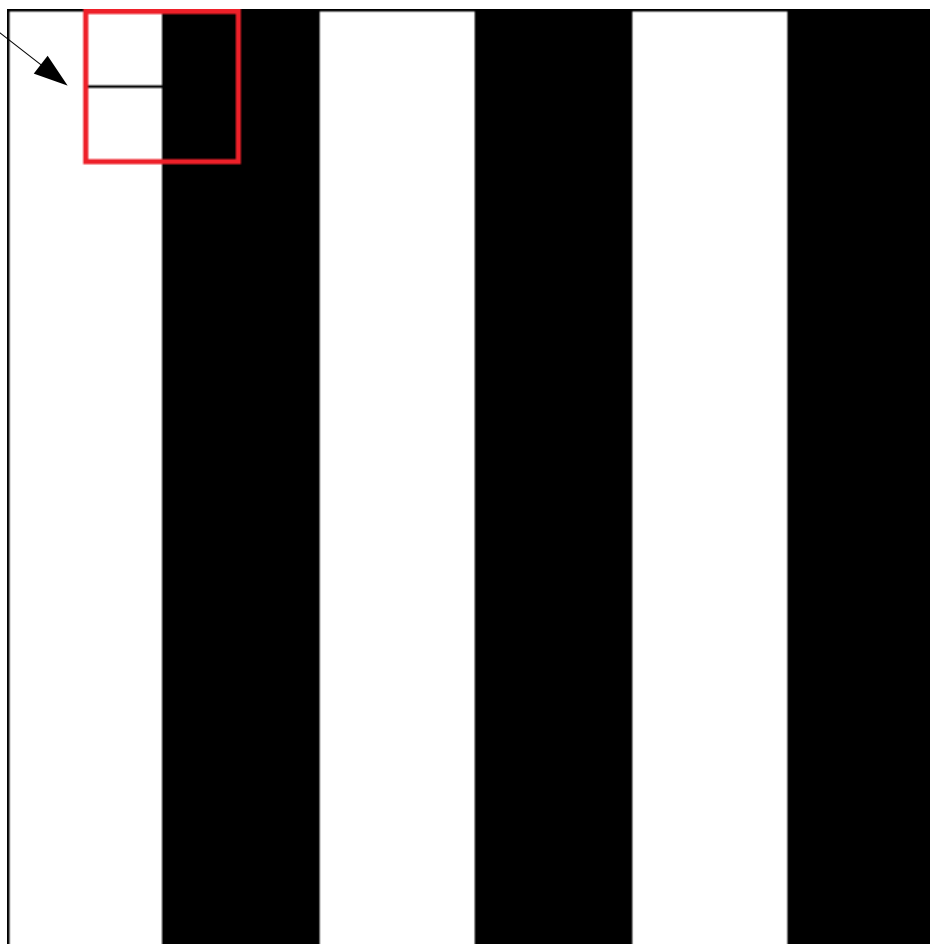
## Création d'une échelle de symétrie :

[0,0,0,0]



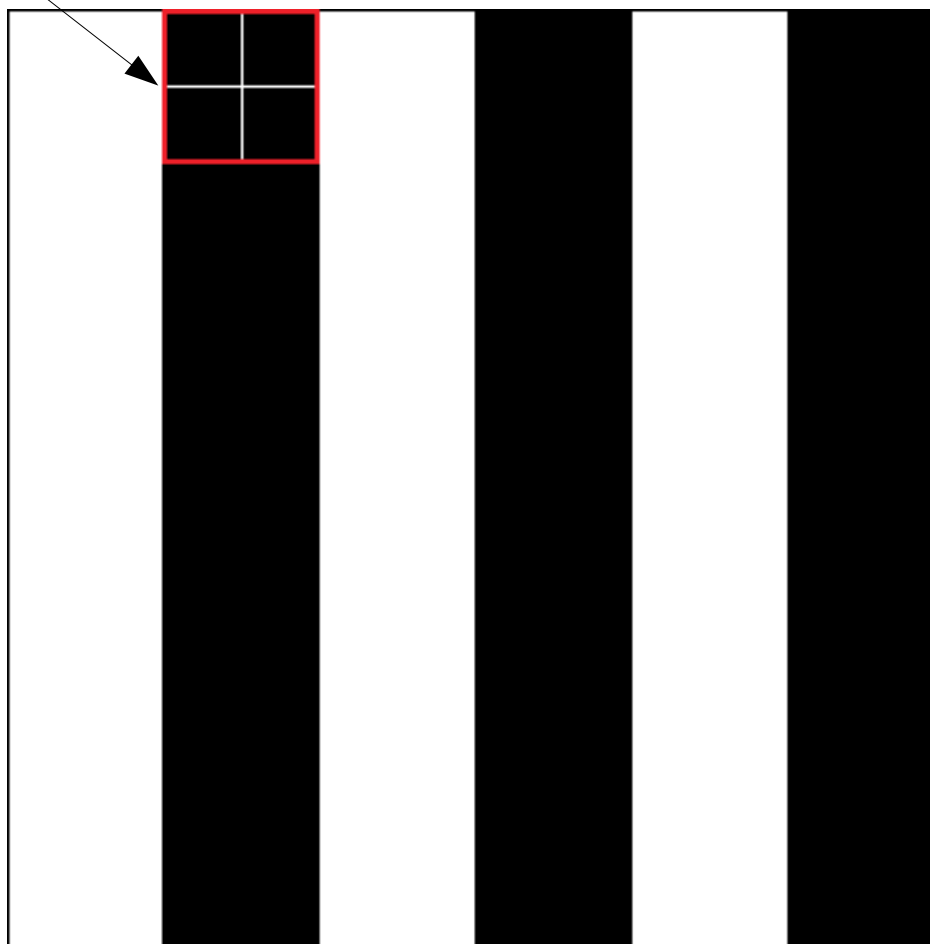
## Création d'une échelle de symétrie :

[0, 1, 0, 1]

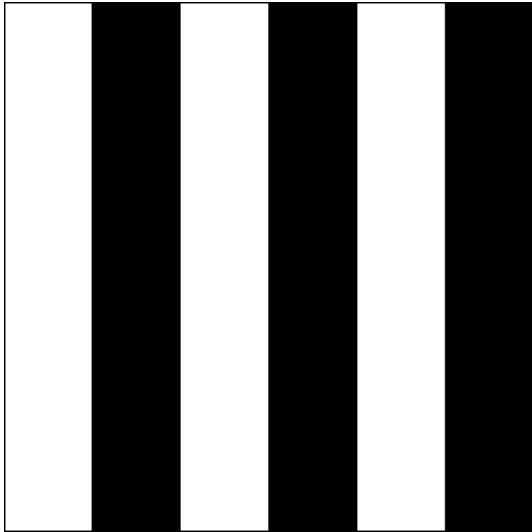


## Création d'une échelle de symétrie :

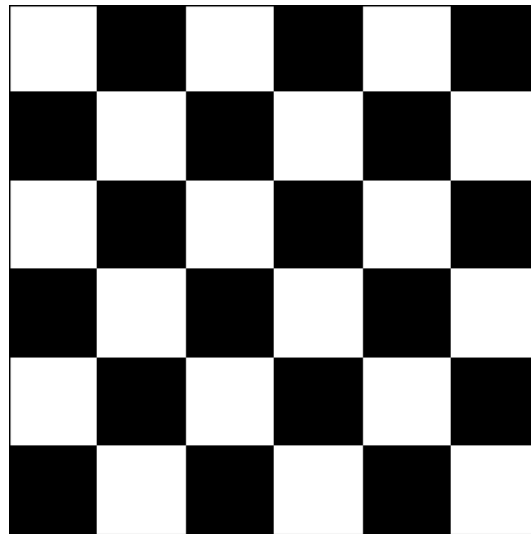
[1,1,1,1]



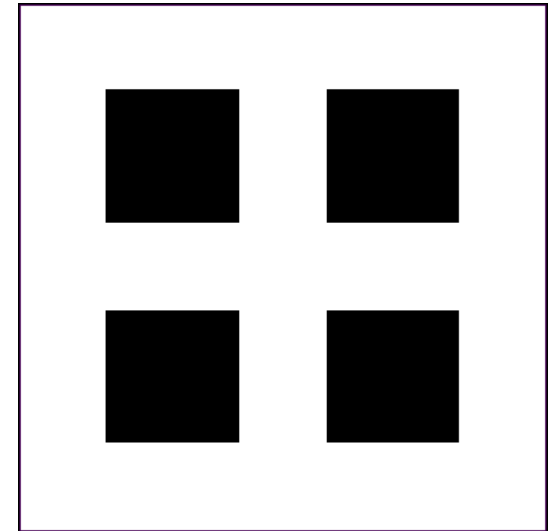
## Création d'une échelle de symétrie :



```
>>> symetrie(R)  
[33, 0, 55, 0, 0, 33]
```



```
>>> symetrie(D)  
[18, 0, 60, 25, 0, 18]
```



```
>>> symetrie(C)  
[57, 16, 32, 0, 0, 16]
```

## Création d'une échelle de symétrie :

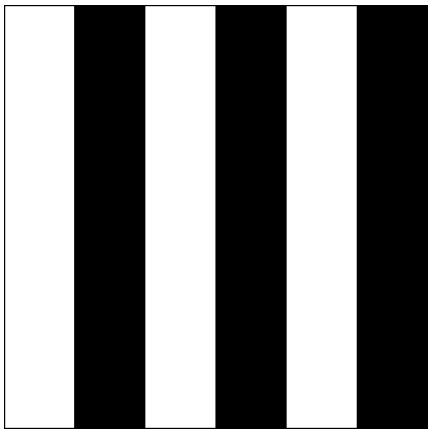
$$S=[a,b,c,d,e,f] \longrightarrow \frac{\sqrt{a^2+b^2+c^2+d^2+e^2+f^2}}{a+b+c+d+e+f}$$

## Création d'une échelle de symétrie :

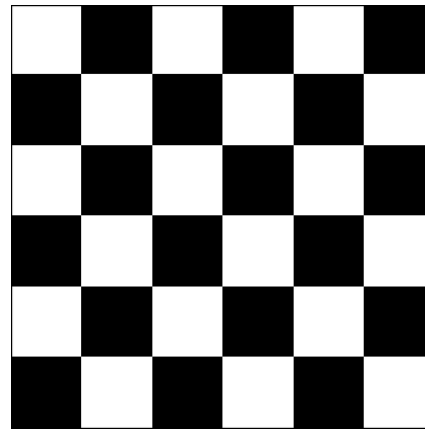
$$S=[a,b,c,d,e,f] \longrightarrow \frac{\sqrt{a^2+b^2+c^2+d^2+e^2+f^2}}{a+b+c+d+e+f}$$

### Résultats :

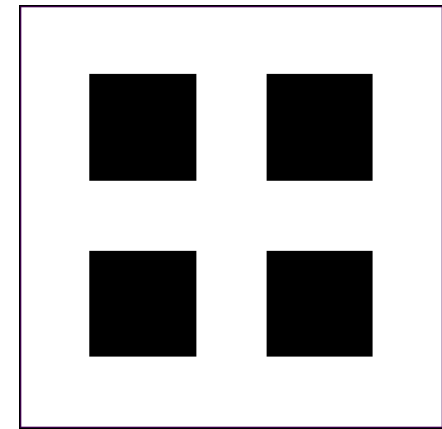
```
>>> echelle(R)  
0.5961307749365455
```



```
>>> echelle(D)  
0.5769163343149498
```

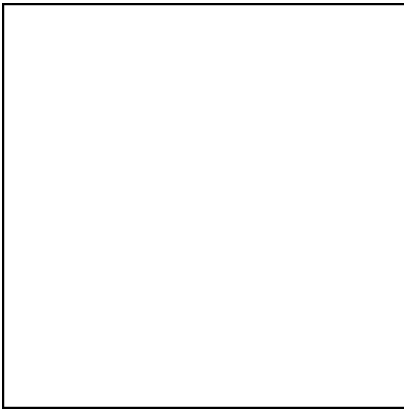


```
>>> echelle(C)  
0.5716834249759095
```



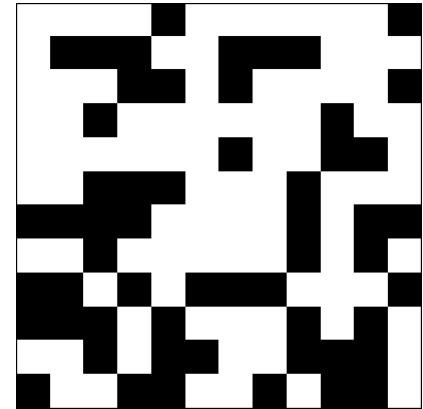
## Création d'une échelle de symétrie :

### Limites de cette première échelle :



```
>>> symetrie(Z)
[121, 0, 0, 0, 0, 0]
```

```
>>> echelle(Z)
1.0
```

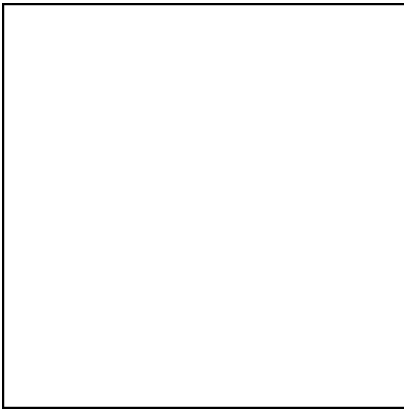


```
>>> symetrie(A)
[15, 41, 31, 14, 17, 3]
```

```
>>> echelle(A)
0.4791250591945701
```

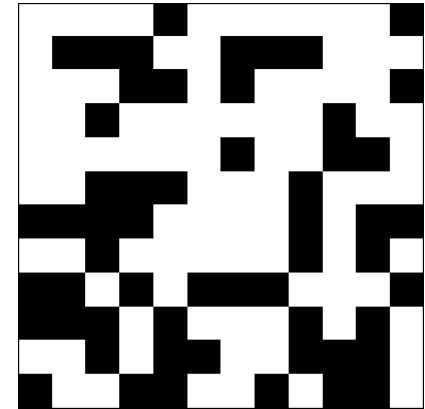
## Création d'une échelle de symétrie :

### Limites de cette première échelle :



```
>>> symetrie(Z)
[121, 0, 0, 0, 0, 0]
>>> echelle(Z)
1.0
```

$$S = [a, b, c, d, e, f]$$



```
>>> symetrie(A)
[15, 41, 31, 14, 17, 3]
>>> echelle(A)
0.4791250591945701
```

$$1 + \ln \left( \frac{\sqrt{a^2 + b^2 + c^2 + d^2 + e^2 + f^2}}{a + b + c + d + e + f} \right)$$

## Création d'une échelle de symétrie :

## Résultats, analyse et comparaisons :

	A (aléatoire)	C (carrés)	D (damier)	R (rayures)	Z (zéro)
symétrie()	[15,41,31,14,17,3]	[57,16,32,0,0,16]	[18, 0, 60, 25, 0, 18]	[33, 0, 55, 0, 0, 33]	[121, 0, 0, 0, 0, 0]
échelle()	0,479	0,572	0,577	0,596	1,000
echelle2()	0,264	0,441	0,450	0,483	1,000

## Création d'une échelle de symétrie :

## Résultats, analyse et comparaisons :

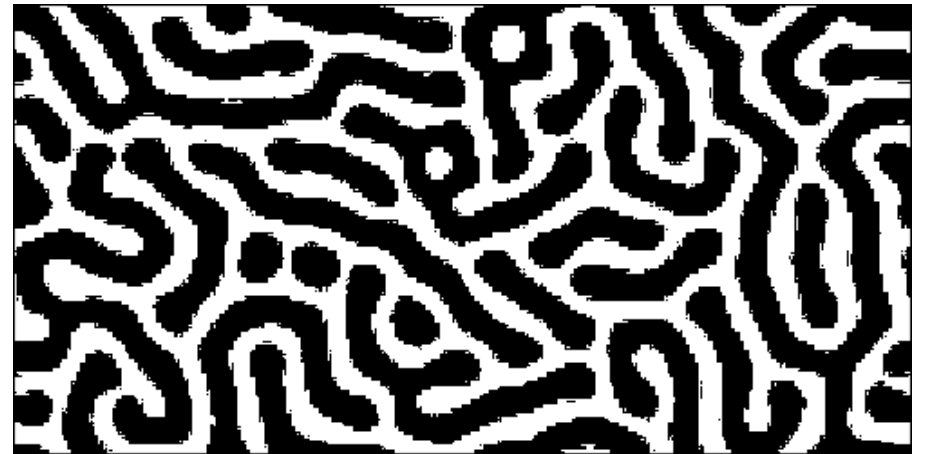
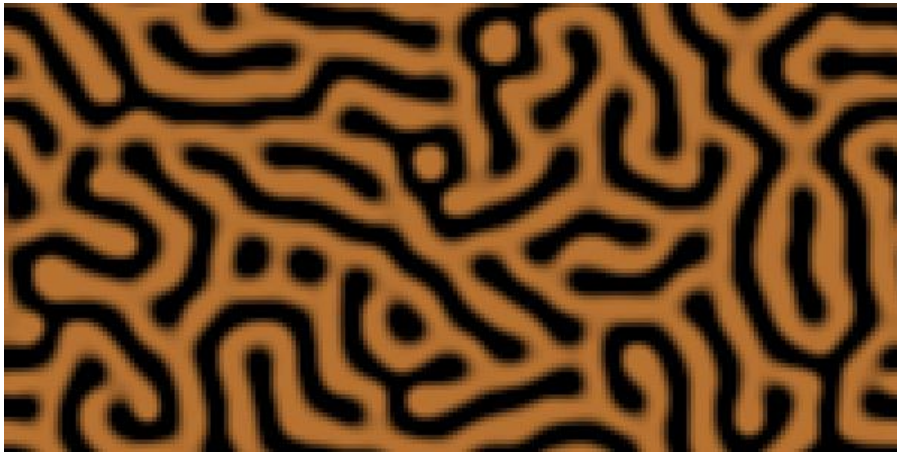
	A (aléatoire)	C (carrés)	D (damier)	R (rayures)	Z (zéro)
symétrie()	[15,41,31,14,17,3]	[57,16,32,0,0,16]	[18, 0, 60, 25, 0, 18]	[33, 0, 55, 0, 0, 33]	[121, 0, 0, 0, 0, 0]
échelle()	0,479	0,572	0,577	0,596	1,000
echelle2()	0,264	0,441	0,450	0,483	1,000

## Détermination du zéro (500\*500) :

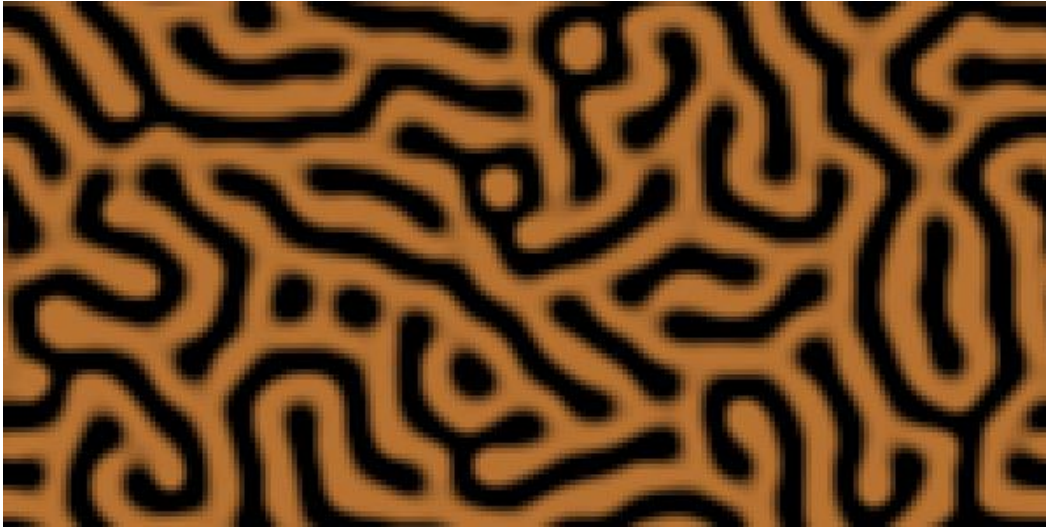
```
>>> zero(100)  
0.22040786060361428
```

## Application à divers exemples :

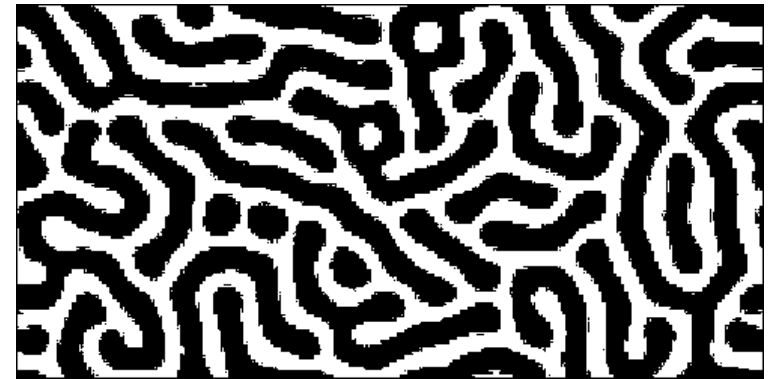
### Conversion des images :



## Application à divers exemples :

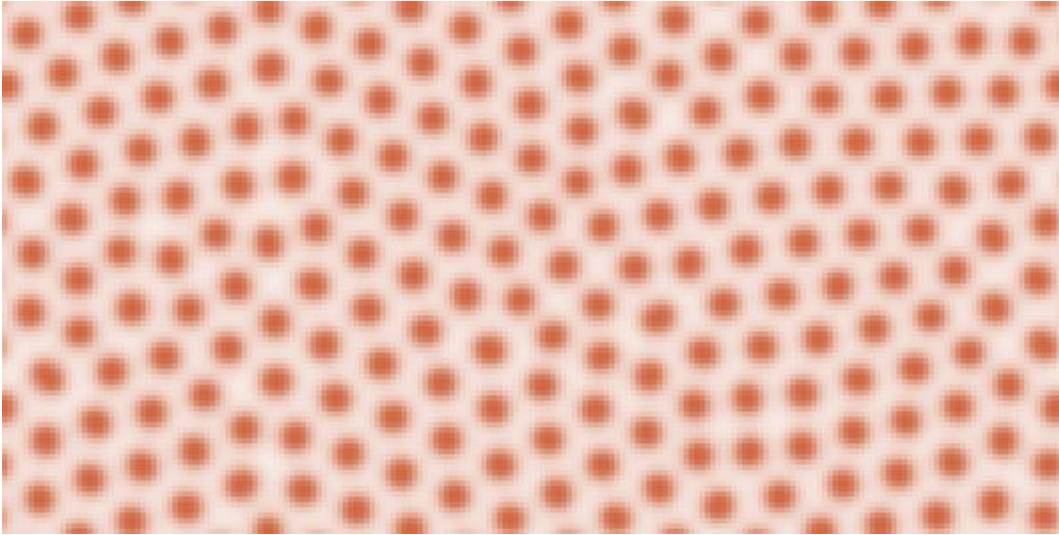


⑤

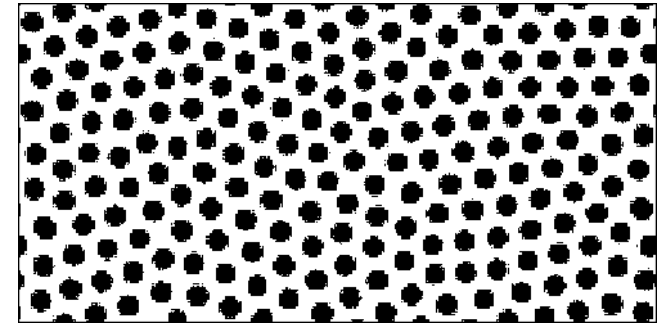


	echelle2()
empreinte1	0,57029
empreinte2	0,57031
empreinte3	0,56965

## Application à divers exemples :



④



	echelle2()
points1	0,586
points2	0,581
points3	0,584

## Application à divers exemples :



③

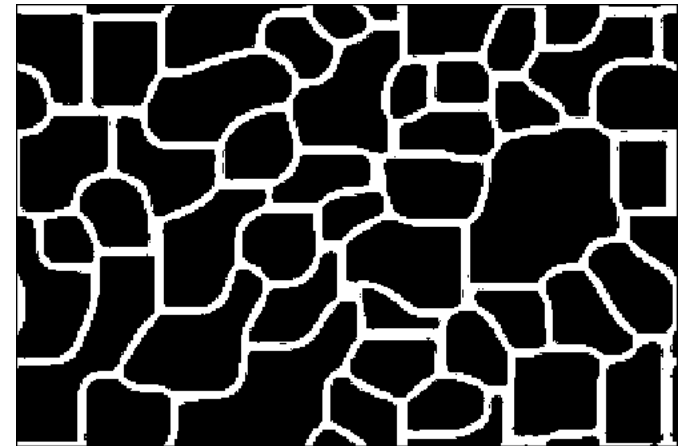


	echelle2()
queue1	0,745
queue2	0,742
queue3	0,744

## Application à divers exemples :

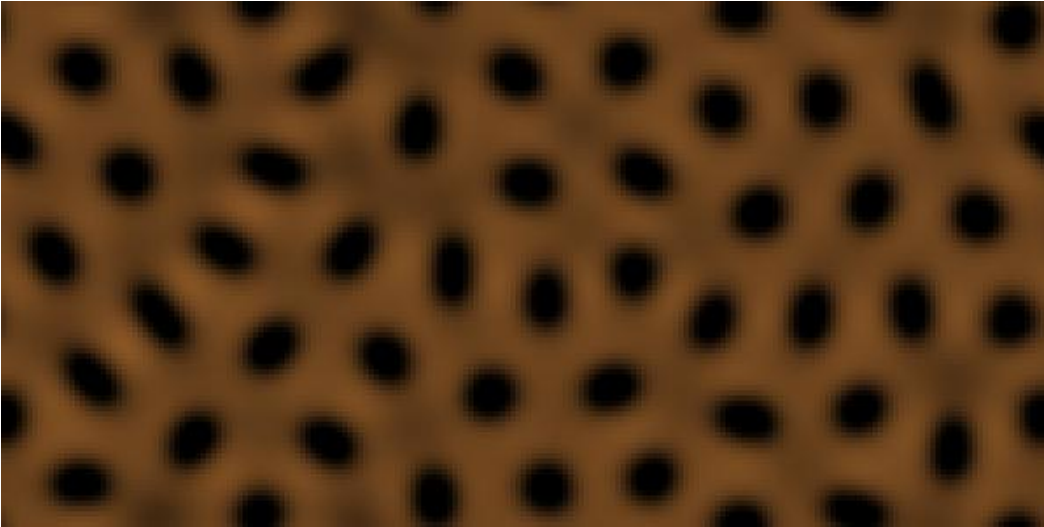


②

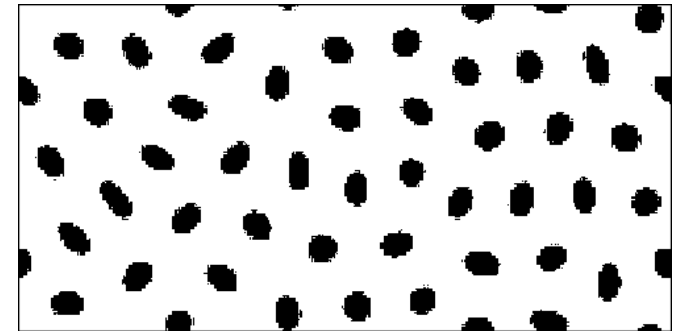


	echelle2()
girafe1	0,749
girafe2	0,766
girafe3	0,746

## Application à divers exemples :



①



	echelle2()
guépard1	0,828
guépard2	0,820
guépard3	0,822

# Conclusion

L'échelle de symétrie ainsi créée est valide et les écarts entre les valeurs peuvent être expliqués par :

- dimension des images étudiées/création de l'échelle.
- dimension motif élémentaire très petite

# Annexe

```
def equation_chaleur_2D(L,dt):#On suppose ici que L est une matrice carrée
n=len(L)
for i in range(1,n-1):
    for j in range(1,n-1):
        L[i][j] = L[i][j]+dt*k*((1/dx**2)*(L[i+1][j]-2*L[i][j]+L[i-1][j]))+(1/dy**2)*(L[i][j+1]-2*L[i][j]+L[i][j-1]))
return(L)

#definition d'une echelle de couleur(noir et blanc):
M= 200
color_list=[[i/(M-1),i/(M-1),i/(M-1)]for i in range (M)]
my_cmap=matplotlib.ListedColormap(color_list,name='from_list',N=None)

def plaque(n):
    L=points_tab(n)
    for i in range(len(L)):
        for j in range(len(L)):
            if L[i][j]==0:
                L[i][j]=20
    k=n//2
    if n%2==1:
        for i in [k-2,k-1,k,k+1,k+2]:
            for j in [k-2,k-1,k,k+1,k+2]:
                L[i][j]=510
    if n%2==0:
        for i in [k-2,k-1,k,k+1]:
            for j in [k-2,k-1,k,k+1]:
                L[i][j]=510
    return(L)

def representationplaque(n,m):
    L=equation_chaleur_2D(test(n),dt)
    for i in range(m):
        L=equation_chaleur_2D(L,dt)
    plt.imshow(L)
    plt.show()

def evolution_e_c_2D(L,n):
    DT=[]
    for i in range(n):
        DT.append(dt*i)
        print(equation_chaleur_2D(L,DT[i]),'\n')
        L=equation_chaleur_2D(L,DT[i])
    plt.imshow(L,cmap=my_cmap)
    plt.show()
```

# Annexe

```
def rayurel():
    L=points_tab(12)
    n=len(L)
    for j in [2,3,6,7,10,11]:
        for i in range(n):
            L[i][j]=1
    return(L)
```

```
def carrel():
    L=points_tab(12)
    n=len(L)
    for j in [2,3,4,7,8,9]:
        for i in [2,3,4,7,8,9]:
            L[i][j]=1
    return(L)
```

```
def damier():
    L=points_tab(12)
    for j in [2,3,6,7,10,11]:
        for i in [0,1,4,5,8,9]:
            L[i][j]=1
    for j in [0,1,4,5,8,9]:
        for i in [2,3,6,7,10,11]:
            L[i][j]=1
    return(L)
```

```
def alea(n):
    L=points_tab(n)
    for i in range(n):
        for j in range(n):
            L[i][j]=rd.randint(0,1)
    return(L)
```

```
def decoupage(L):
    n=len(L)
    m=len(L[0])
    D=[]
    for i in range(n-1):
        for j in range(m-1):
            D.append([L[i][j],L[i][j+1],L[i+1][j],L[i+1][j+1]])
    return(D)
```

```
def symetrie(L):
    D=decoupage(L)
    S=[0]*6
    n=len(D)
    for i in range(n):
        if D[i]==[0,0,0,0]:
            S[0]+=1
        if D[i]==[1,0,0,0] or D[i]==[0,1,0,0] or D[i]==[0,0,0,1] or D[i]==[0,0,1,0]:
            S[1]+=1
        if D[i]==[1,1,0,0] or D[i]==[1,0,1,0] or D[i]==[0,0,1,1] or D[i]==[0,1,0,1]:
            S[2]+=1
        if D[i]==[1,0,0,1] or D[i]==[0,1,1,0]:
            S[3]+=1
        if D[i]==[1,0,1,1] or D[i]==[1,1,0,1] or D[i]==[0,1,1,1] or D[i]==[1,1,1,0]:
            S[4]+=1
        if D[i]==[1,1,1,1]:
            S[5]+=1
    return(S)
```

# Annexe

```
def echelle(L):  
    S=symetrie(L)  
    return(sqrt(S[0]**2+S[1]**2+S[2]**2+S[3]**2+S[4]**2+S[5]**2)/(S[0]+S[1]+S[2]+S[3]+S[4]+S[5]))
```

```
def echelle2(L):  
    S=symetrie(L)  
    return(1+log(sqrt(S[0]**2+S[1]**2+S[2]**2+S[3]**2+S[4]**2+S[5]**2)/(S[0]+S[1]+S[2]+S[3]+S[4]+S[5])))
```

```
def zero(n):  
    Z=[]  
    for i in range(n):  
        Z.append(echelle2(alea(500)))  
    return(min(Z))
```

```
image1= Image.open("empreinte 1.jpg")  
empreintel = np.array(image1)
```

#Conversion des images:

```
def conversionnuancedegris(L):#Ici on prend en argument un tableau extrait d'une image RVB  
    n=len(L)  
    m=len(L[0])  
    g=[]  
    G=[]  
    for i in range(n):  
        for j in range(m):  
            g.append(L[i][j][0]*0.299+L[i][j][1]*0.587+L[i][j][2]*0.114)  
        G.append(g)  
        g=[]  
    return(G)
```

```
def conversirnoirblanc(L):#Ici on prend en argument un tableau converti en nuances de gris  
    n=len(L)  
    m=len(L[0])  
    nb=[]  
    NB=[]  
    for i in range(n):  
        for j in range(m):  
            if L[i][j]<=200:  
                nb.append(1)  
            else:  
                nb.append(0)  
        NB.append(nb)  
        nb=[]  
    return(NB)
```

```
def convert(L):  
    return(conversirnoirblanc(conversionnuancedegris(L)))
```